

УДК 519.240

С.Н. Гуз, Н.В. Сергиевич, М.Д. Юдин

СЛОЖНОЕ ПУАССОНОВСКОЕ РАСПРЕДЕЛЕНИЕ В МОДЕЛИРОВАНИИ НЕКОТОРЫХ ДЕФОРМАЦИЙ

В данной работе на базе общей теории предельных распределений сумм зависимых случайных величин и векторов, основные результаты которой опубликованы в [1-5], строятся вероятностные модели некоторых деформаций и разрушений с целью получения теоретических распределений их линейных размеров и плоских конфигураций.

В отличие от ранее рассмотренных случаев (см., например, [6; 7]), здесь носителями пуассоновской вероятности служит не окрестность одной точки, а окрестности нескольких точек, расположенных на одной прямой. Оказывается, это обстоятельство поставляет в теоретическую плотность вероятности деформации сложный пуассоновский компонент.

Согласно концепции продвижения деформации, разработанной в [6] и используемой, в частности, в [1, 7], приращения деформации зависимы и делятся на два типа по величине и частоте встречаемости: большинство приращений длины дефекта в поле внутренних напряжений имеют относительно малую величину; фактор торможения роста деформаций “стопорами” и периодический прорыв последних вызывает появление относительно редких, но значительно больших приращений. Сосредоточение пуассоновских вероятностей в окрестности нескольких точек обуславливается тем, что, во-первых, прорывы “стопоров” могут различаться по длине, во-вторых, мы допускаем [8] прорывы сразу нескольких “стопоров” при одном скачке.

1°. Линейный случай. *Теоретическая часть*. Пусть $\{\xi_{ns}\}_{s=1}^n$, $n = \overline{1, \infty}$, — система серий случайных величин, определенных при каждом n на одном и том же пространстве элементарных событий и имеющих ограниченные дисперсии. Независимости величин ξ_{ns} не предполагается. Положим: $\eta_{ns} = \xi_{ns} - M\xi_{ns}$. Как показано в [1] (см. теорему 2.3, стр. 60 и теорему 2.7, стр. 72), при довольно естественных ограничениях, если при $n \rightarrow \infty$

$$K_n(x) = \sum_{s=1}^n M(\eta_{ns}^2; \eta_{ns} < x) \xrightarrow{\text{сл.}} K(x), \quad \sum_{s=1}^n M\eta_{ns}\eta_{nq} \longrightarrow a,$$



то сумма $\sum_{s=1}^n \eta_{ns}$ будет иметь безгранично делимое предельное распределение, логарифм характеристической функции (х. ф.) которого

$$\psi(t) = \int_{-\infty}^{\infty} (e^{itx} - 1 - itx) \frac{1}{x^2} dK(x) - \frac{at^2}{2}. \quad (1)$$

Моделирование. Пусть n -ая серия $\{\xi_{ns}\}_{s=1}^n$ случайных величин — система приращений деформации. Тогда $S = \sum_{s=1}^n \xi_{ns}$ — общая длина деформации. Согласно приведенной концепции, распределение S должно быть близко к предельному распределению суммы $\sum_s \xi_{ns}$ при $n \rightarrow \infty$, за счет дробления времени, когда будут выполнены условия: если x_1, x_2, \dots, x_m — положительные точки сосредоточения пуассоновской вероятности, расположенные в порядке возрастания, то при любом $\tau \in (0, \min_k(x_k - x_{k-1}))$, $k = \overline{1, m}$, $x_0 = 0$,

$$\sum_s \int_{|x| < \tau} x^2 dP\{\eta_{ns} < x\} \rightarrow \sigma^2 < \infty, \quad (2)$$

$$\sum_s \int_{|x - x_k| < \tau} dP\{\eta_{ns} < x\} \rightarrow \lambda_k, \quad k = \overline{1, m}, \quad (3)$$

$$\sum_s M \left(\eta_{ns}^2; \bigwedge_{k=1}^m |x_k - \eta_{ns}| \geq \tau \wedge |\eta_{ns}| \geq \tau \right) \rightarrow 0. \quad (4)$$

Условие (2) следует из относительной малости подавляющей часть приращений, условие (3) — из редкости относительно больших приращений с различными длинами: x_1, x_2, \dots, x_m .

Если, кроме того, $\sum_{s \neq q} M \eta_{ns} \eta_{sq} \rightarrow a$, $\sum_s M \xi_{ns} \rightarrow \ell$, то из формулы (1) и условий (2), (3), (4) получим, что плотность вероятности предельного распределения суммы $\sum_s \xi_{ns}$ будет иметь вид (см. [8])

$$p(x) = \frac{e^{-\sum_{k=1}^m \lambda_k}}{\sqrt{2\pi(\sigma^2 + a)}} \sum_{q_k=0 \forall k}^{\infty} \frac{\lambda_1^{q_1} \lambda_2^{q_2} \dots \lambda_m^{q_m}}{q_1! q_2! \dots q_m!} \exp \left\{ -\frac{(x - (\ell - \sum_{k=1}^m x_k \lambda_k) - \sum_{k=1}^m x_k q_k)^2}{2(\sigma^2 + a)} \right\} \quad (5)$$

В [8] мы получили подобную теоретическую плотность вероятности при условии, что “большие” приращения кратны “единичному шагу”, т. е. что пуассоновская вероятность сосредотачивается в точках $1, 2, \dots, m$.

Для случая $m=2$ нами составлена компьютерная программа, строящая график плотности (5), позволяющая варьировать входящие в (5) параметры, выявлять влияние этих параметров

на предельные распределения суммы $S = \sum_s \xi_{ns}$. Так, на рис. 1 дан график плотности (5) при $x_1=1, x_2=5, \lambda_1=1.5, \lambda_2=2, \sigma^2+a=0.1, \lambda=1$; на рис.2 дан график плотности (5) при $x_1=1, x_2=2, \lambda_1=5, \lambda_2=0.8, \sigma^2+a=0.1, \lambda=1.4$;

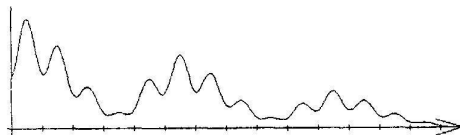


Рис. 1

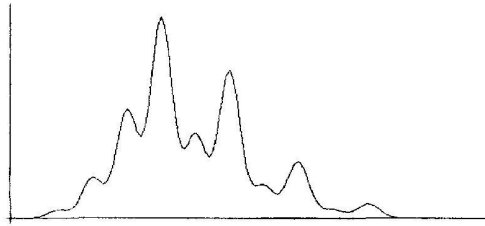


Рис. 2

Оказалось, в частности, что при увеличении λ_k график смещается вправо, при уменьшении дисперсионного параметра σ^2 а вершины становятся более выраженными и могут переходить в отдельные части кривой, поскольку вероятность между ними становится близкой к нулю. Можно заметить и другие закономерности. Важно то, что при достижении хорошего совпадения графика теоретической плотности вероятности (5) с графиком плотности, полученной на основе экспериментальных данных, параметры плотности (5) становятся, вообще говоря, новыми характеристиками исследуемого материала.

2⁰. **Двумерный случай.** В этом пункте показана возможность вероятностного моделирования не только линейных размеров дефектов, но и картин их расположения на поверхности твердого тела, без предположения независимости приращений процесса распространения.

Теоретическая часть. Теперь ξ_{ns} – случайные векторы.

В [2-4] было найдено общее представление логарифма х. ф. предельного распределения суммы зависимых случайных векторов.

Пусть $\{\xi_{ns}\}_{s=1}^{\infty}$, $n = \overline{1, \infty}$, — система серий d -мерных случайных векторов с ограниченными дисперсиями, $\xi_{ns} = (\xi_{ns}^{(1)}, \dots, \xi_{ns}^{(d)})$, $M\xi_{ns}^{(i)} = 0$, $t = (t_1, \dots, t_d)$, $x = (x^{(1)}, \dots, x^{(d)})$, $S_n = \sum_s \xi_{ns}$, матрица $B_n = \|b_{n(i,j)}\|$, где $b_{n(i,j)} = \sum_{0 \leq |p-s| \leq m_n} M(\xi_{ns}^{(i)} \xi_{np}^{(j)} | \xi_{ns} \leq \varepsilon \wedge |\xi_{np}| \leq \varepsilon)$, $\varepsilon > 0$, $K_n(x) = \sum_{s=1}^n M(\xi_{ns}^2; \xi_{ns} < x)$, где $\xi_{ns} < x$ означает, что $\xi_{ns}^{(i)} < x^{(i)}$, $i = \overline{1, d}$ [9].

В работе [5] показано, что в довольно естественных условиях, когда $K_n(x) \xrightarrow{cn} K(x)$ при $n \rightarrow \infty$, $\lim_{\varepsilon \rightarrow 0} \lim_{n \rightarrow \infty} B_n = B$, сумма S_n будет иметь безгранично делимое предельное распределение, логарифм х. ф. которого

$$\psi(t) = \int_{R^d} (e^{i(t,x)} - 1 - i(t,x)) \frac{1}{x^2} dK(x) - \frac{(t, Bt^*)}{2}, \quad (6)$$

где из области интегрирования исключен нуль-вектор (t, \cdot) — скалярное произведение, t^* — вектор-столбец.

Моделирование. Пусть $d=2$. В [7] мы рассматривали случай, когда носителями пуассоновской вероятности служили окрестности точек, никакие две из которых не расположены на одной прямой, выходящей из начала координат плоскости.

Здесь, наоборот, все точки $x_k = (x_k^{(1)}, x_k^{(2)})$ расположены на одной полупрямой $x = \alpha x_1$, $\alpha > 0$. $x_1 = (x_1^{(1)}, x_1^{(2)}) \neq (0, 0)$, причем $x_k = \alpha_k x_1$, $k = \overline{1, m}$, $\alpha_1 = 1$, $\alpha_k > \alpha_{k-1}$.

Пусть $\{\eta_{ns}\}_{s=1}^{\infty}$ — n -я серия двумерных приращений деформации, $\eta_{ns} = (\eta_{ns}^{(1)}, \eta_{ns}^{(2)})$, $S = \sum_s \eta_{ns}$, $\xi_{ns} = \eta_{ns} - M\eta_{ns}$.



Аналогично одномерному случаю (см. п.1⁰ и [1]) наличие относительно больших “разношаговых” приращений в направлении полупрямой $x=\alpha x_0$ выразится условием: для любых δ -окрестностей n_k точек x_k , $0 < \delta < \min_k |x_k - x_{k-1}|$, $x_0=0$,

$$\lim_{n \rightarrow \infty} \sum_{s=1}^n \int x^2 dP \left\{ \xi_{ns} < x \right\} = \lambda_k > 0, \quad k = \overline{1, m}. \quad (7)$$

Наличие большого числа малых приращений выразится в том, что для любой ε -окрестности v_0 , $\varepsilon < |x_i|$ начала координат

$$\sum_{s=1}^n M(\xi_{ns}^2; \xi_{ns} \in v_0) \xrightarrow{n \rightarrow \infty} \sigma_1^2 + \sigma_2^2 > 0 \quad (8)$$

(значения σ_1^2 и σ_2^2 войдут, соответственно, в предел матрицы B_n). Зависимость между приращениями x_{ns} отразится в тех частях элементов $b_{n(i,j)}$ матрицы B_n , которые получаются при $s \neq p$.

И, наконец, для любых таких δ и ε

$$\lim_{n \rightarrow \infty} \sum_{s=1}^n \int x^2 dP \left\{ \xi_{ns} < x \right\} = 0 \quad (9)$$

Естественно предположить, что система серий $\{\xi_{ns}\}$ удовлетворяет условиям, в которых логарифм х. ф. предельного распределения суммы S_n выражается по формуле (6). Поэтому,

если $\sum_{s=1}^n M \eta_{ns} \rightarrow \ell = (\ell^{(1)}, \ell^{(2)})$, $\lim_{\varepsilon \rightarrow 0} \lim_{n \rightarrow \infty} B_n = \begin{bmatrix} b_{11} & b_{12} \\ b_{21} & b_{22} \end{bmatrix}$, то из формулы (6) и условий (7), (8),

(9) следует, что сумма $S_n = \sum_{s=1}^n \eta_{ns}$ при неограниченном дроблении времени будет иметь

предельное распределение с логарифмом х. ф. $\psi(t) = \sum_{k=1}^m \lambda_k (e^{i(t, x_k)} - 1 - i(t, x_k)) - \frac{(t, B t^*)}{2} + i(t, \ell)$,

где $t=(t_1, t_2)$. Отсюда следует, что теоретическая плотность вероятности предельного распределения суммы S

$$p(x) = \frac{e^{-\sum_{k=1}^m \lambda_k} \sqrt{|B^{-1}|}}{2\pi} \sum_{q_k=0, \dots, m} \left(\prod_{k=1, m}^m \frac{\lambda_k^{q_k}}{q_k!} \exp\left\{-\frac{1}{2}(z, B^{-1} z^*)\right\} \right), \quad (10)$$

где $p(x)=p(x^{(1)}, x^{(2)})$, вектор $z = x - (\ell - \sum_{k=1}^m \lambda_k x_k) - \sum_{k=1}^m q_k x_k$, суммирование m -кратное по q_1, q_2, \dots, q_m от 0 до ∞ .

Для случая, когда $m=2$, на компьютере нами получены изображения поверхностей плотности (10) при различных значениях входящих в нее параметров. Так, на рис. 3 дано изображение

поверхности (10) при $\lambda_1=0.8$, $\lambda_2=0.5$, $x_1=(1, 1)$, $x_2=(5, 5)$, $l=(1, 1)$; $B = \begin{pmatrix} 8 & 2 \\ 2 & 8 \end{pmatrix}$. На

рис. 4 дано изображение поверхности (10) при $\lambda_1=0.5$, $\lambda_2=4$, $x_1=(1, 1)$, $x_2=(3, 3)$, $l=(1, 1)$;

$$B = \begin{pmatrix} 4 & 1 \\ 1 & 4 \end{pmatrix}.$$

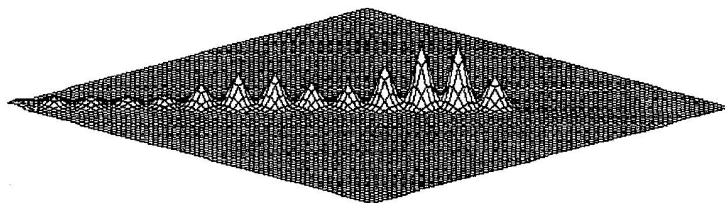


Рис. 3

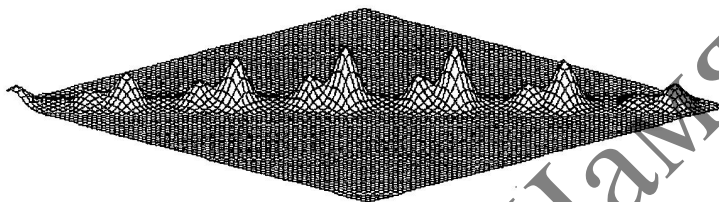


Рис. 4

Видно, что, во-первых, при увеличении числа точек — носителей пуассоновской вероятности на прямой — увеличивается, вообще говоря, число вершин поверхности (10), во-вторых, вершины, расположенные на расстояниях, кратных x_1 и x_2 , становятся выше. Варьируя на компьютере значениями параметров плотности (10), можно выявить и другие закономерности. И в двумерном случае важно то, что при подборе параметров так, чтобы теоретическая плотность вероятности (10) совпала с плотностью, полученной по экспериментальным данным, параметры плотности (10) дадут, вообще говоря, новые характеристики испытуемого материала.

Работа выполнена при финансовой поддержке Фонда фундаментальных исследований Республики Беларусь, договор Ф97-399 от 1-го марта 1998 года.

Литература

1. Юдин М. Д. Сходимость распределений сумм случайных величин. — Мн.: Университетское, 1990.-254с.
2. Юдин М. Д. О решении центральной предельной проблемы теории вероятностей для сумм зависимых векторов //Весці АН Беларусі. Сер. фіз.-мат. навук. —1994. — №3. — С.31-35.
3. Юдин М. Д. Об обобщении формулы Леви-Хинчина на суммы зависимых векторов //Изв. вузов. Математика. — 1996.- № 4. -С.75-80.
4. Юдин М. Д. О предельных распределениях сумм зависимых векторов// Весці АН Беларусі. Сер. фіз.-мат. навук. —1997. — №4. — С.19-23.
5. Юдин М. Д. Об обобщении формулы Колмогорова на суммы зависимых векторов //Изв. вузов. Математика. — 1999.- № 4. -С.61-64.
6. Башмаков В.И., Чикова Т.С., Юдин М.Д. Распределение трещин по размерам в кристаллических телах// Докл.АН БССР. — 1983.- Т.27, № 4. -С.326-328.
7. Юдин М.Д., Сергиевич Н.В., Шилько С.В. Локализация дефектов в твердых телах. Ч. 1. Вероятностная модель поверхностного разрушения кристаллов// Материалы, технологии, инструменты. — 1999.- № 3. -С.5-8.
8. Юдин М. Д. Сложное пуассоновское распределение в теории деформаций и разрушений// Изв. вузов. Математика. — 1993.- № 6. -С.62-64.
9. Биллингсли П. Сходимость вероятностных мер и ее приложения. -М.: Наука, 1977.-352с.

Summary

On the basis of the limit theorems the stochastic processes with dependent increments in the form of composition of normal and composite Poisson distributions are modelled.